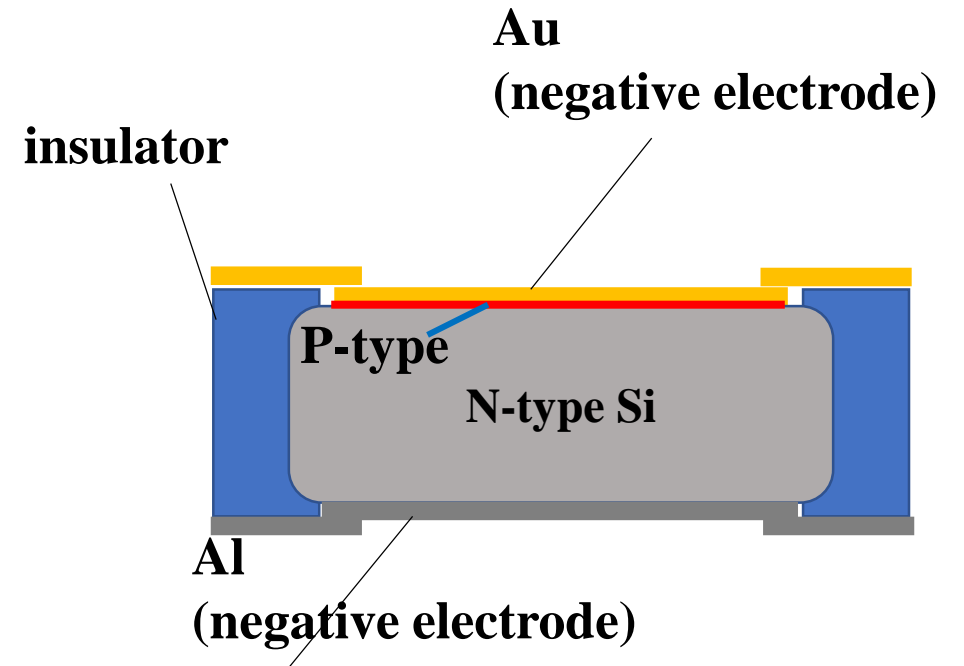


# Energy spectrum

# Surface barrier detector

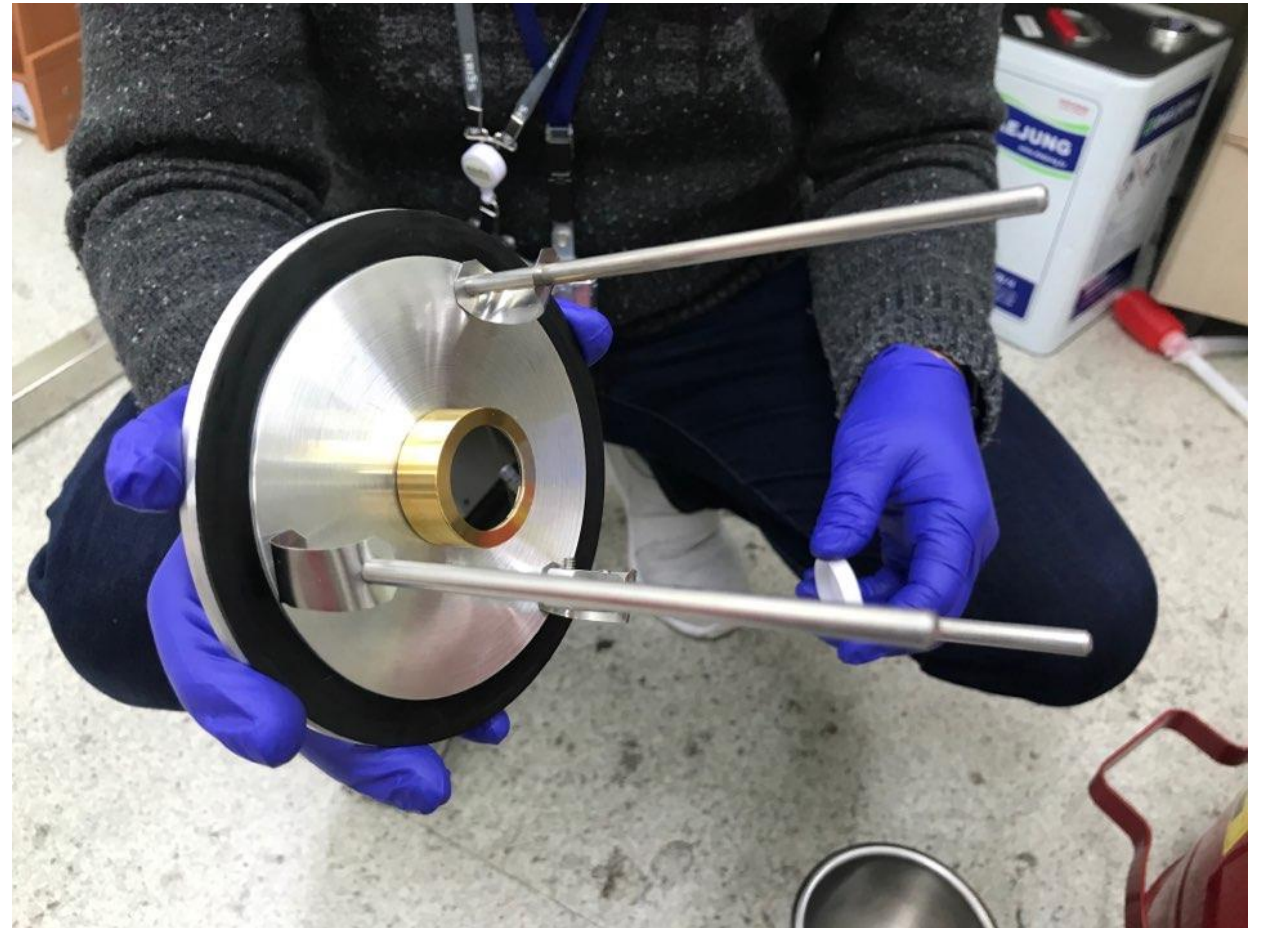
- N-type Silicon semi-conductor의 표면을 산화시켜 p-type을 만들고, 다시 그 표면을 Ni 혹은 Au 등의 금속을 얇게 흡착시켜 전극을 만듦.
- 공핍층에 energy deposit이 생기면 electron-hole pair가 만들어지고, electron과 hole은 전류를 만든다.
- 이 때의 전류의 크기를 측정하여 energy deposit을 계산한다.
- Depletion region이 매우 얇기 때문에 alpha particle, 무거운 하전입자를 검출할 때, 혹은 그 energy spectrum을 측정할 때 사용한다.



# 실제 Surface Barrier Detector



Surface Barrier Detector



Vaccum chambe의 뚜껑에 부착된 Surface Barrier Detector

# Vaccum Chamber



Vaccum chamber

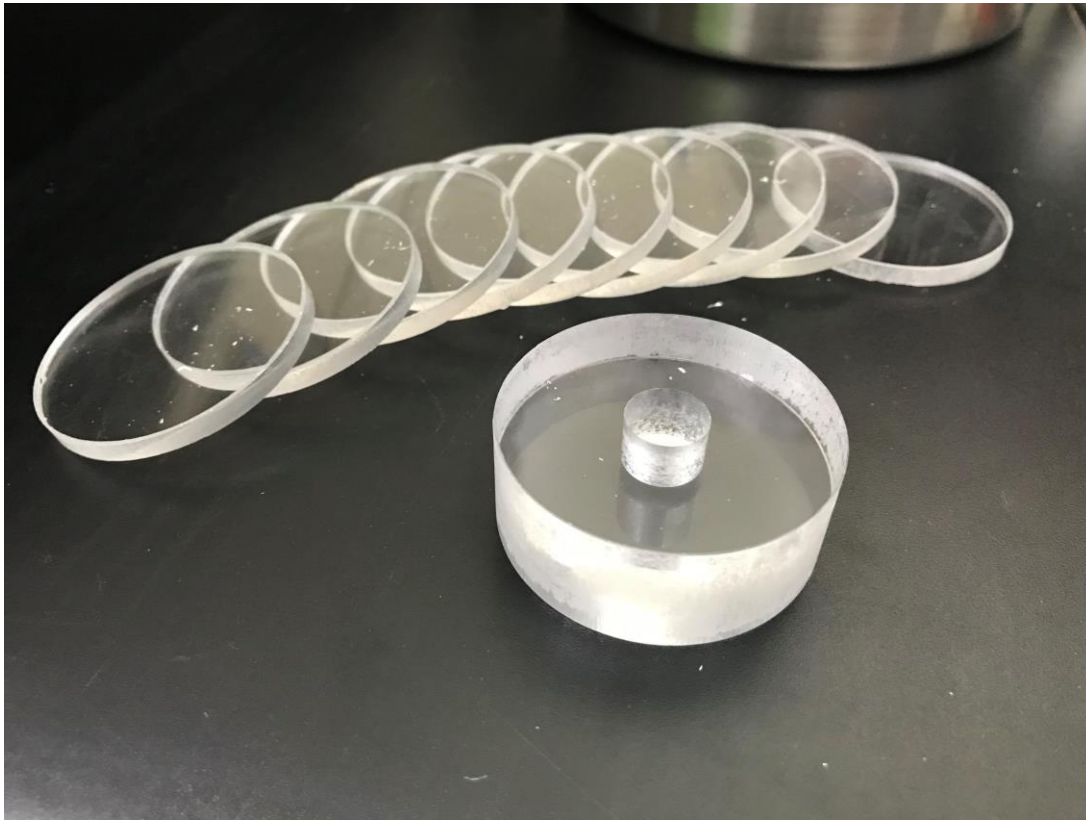


Vaccum chamber



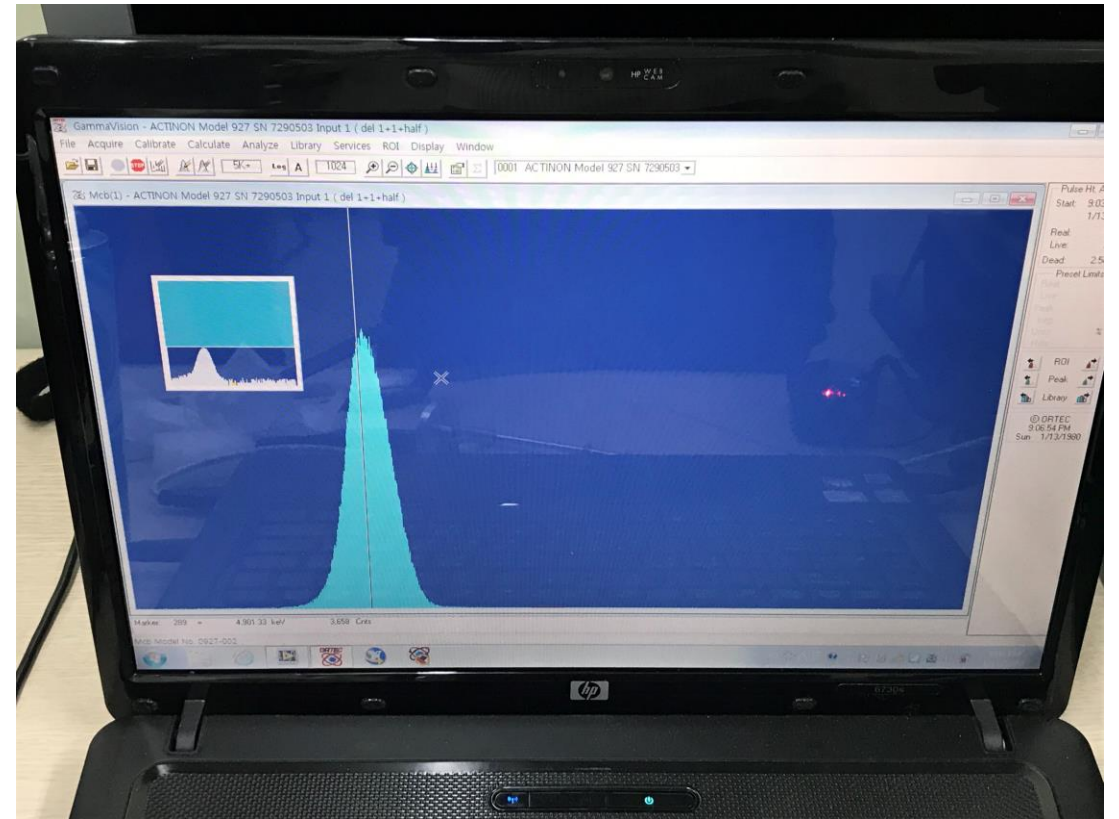
Vaccum pump

# Source holder



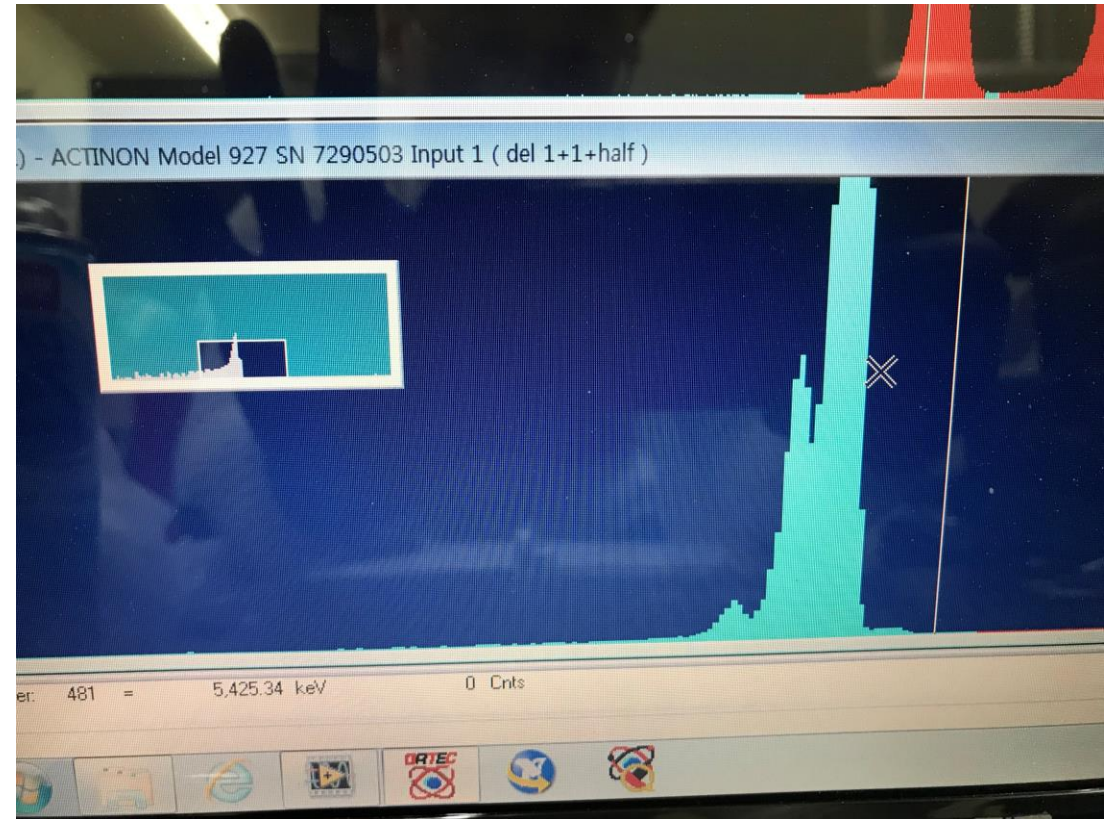
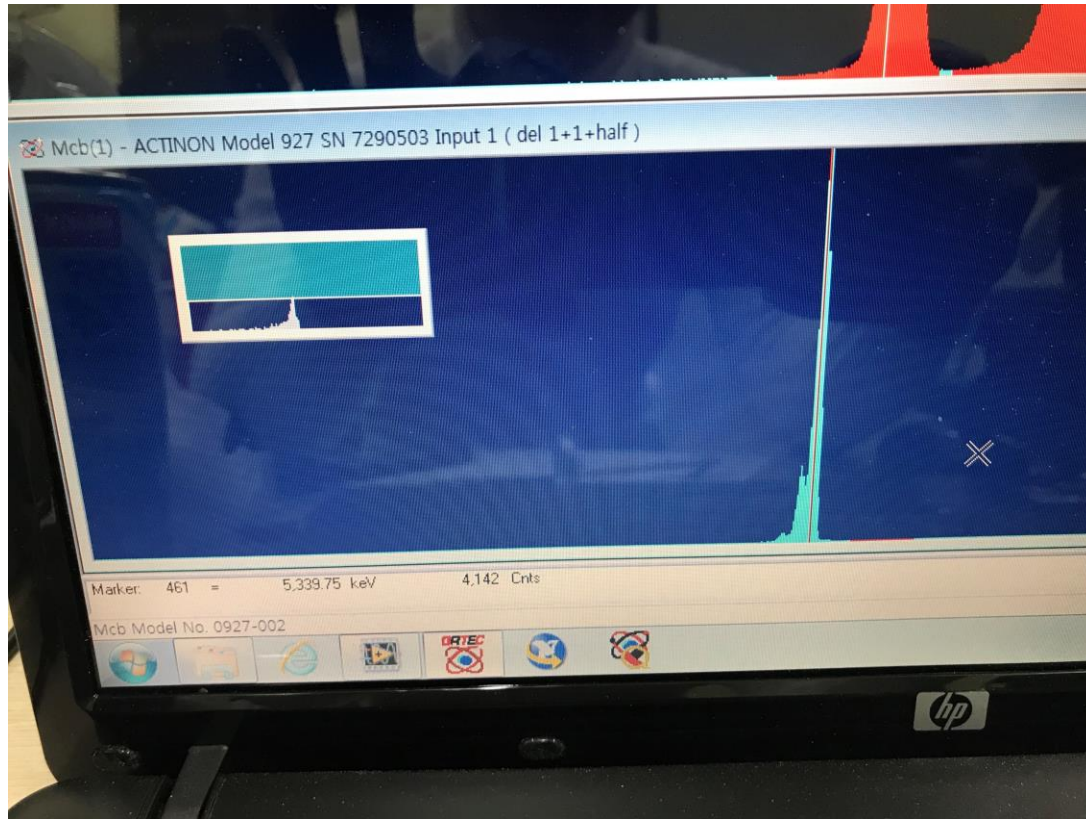
# Alpha particle Energy spectrum 측정

- Vacuum chamber 내부를 vacuum 상태로 만들고 241-Americium source가 Surface Barrier detector를 바라보도록 하고 Energy spectrum을 측정하였다.
- 측정 결과 오른쪽과 같이 Gaussian과 유사한 형태의 그래프가 나타났다.
- 이러한 형태로 나타난 이유는 진공 chamber 안의 기압이 약 680 mmHg이고 가지고 간 선원이 밀봉선원이어서 얇은 막을 통과하며 energy deposit이 있었기 때문이었다.



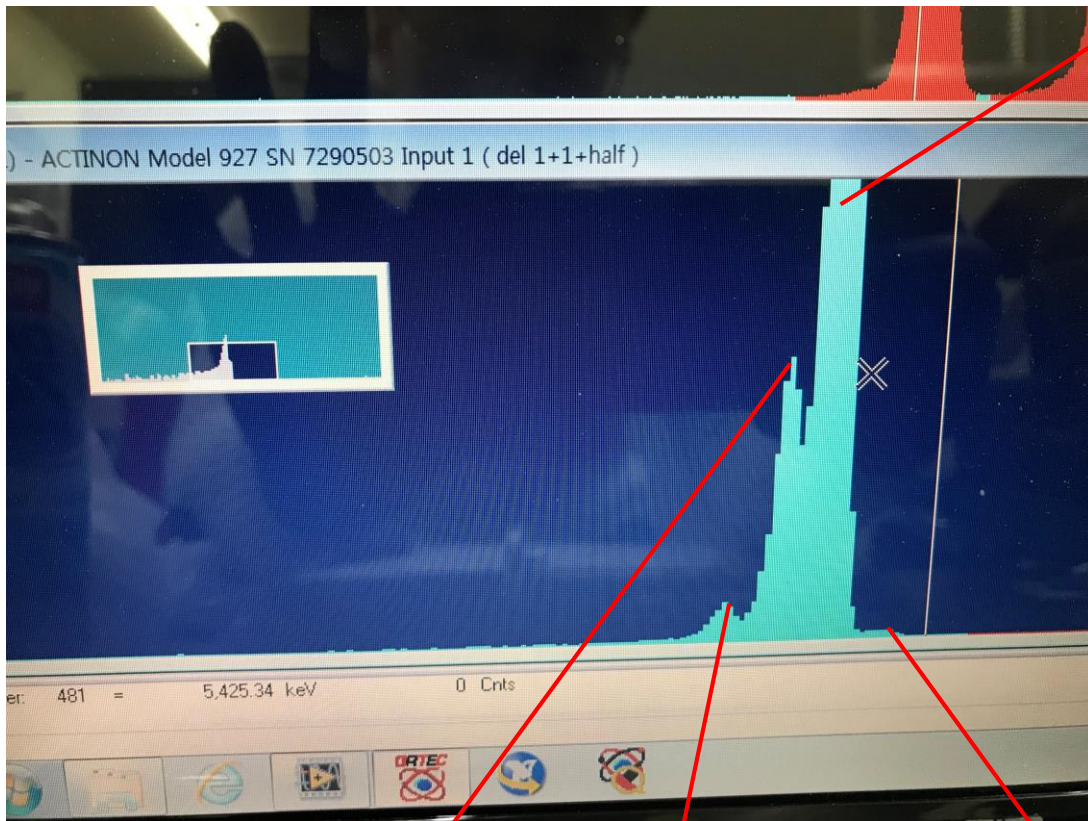
첫 번째 실험 결과 spectrum

# Alpha particle Energy spectrum 측정



KRISS의 241-Americium source(비밀봉선원)를 이용한 Energy spectrum 측정 결과

# 241 Americium decay scheme



5.578 MeV (84.45%)

## 2.1 $\alpha$ Transitions

	Energy keV	Probability $\times 100$	F
$\alpha_{0,36}$	4838,00 (13)	0,00004 (3)	47
$\alpha_{0,34}$	4882,14 (13)	0,000086	44
$\alpha_{0,33}$	4915,86 (13)	0,0007	9,5
$\alpha_{0,32}$	4971,62 (15)		
$\alpha_{0,30}$	5039,83 (15)		
$\alpha_{0,29}$	5045,49 (14)		
$\alpha_{0,28}$	5047,73 (13)		
$\alpha_{0,27}$	5091,70 (14)	0,0001	1000
$\alpha_{0,25}$	5140,81 (13)		
$\alpha_{0,24}$	5151,60 (15)	0,00011	2300
$\alpha_{0,23}$	5178,13 (13)	$\sim 0,0004$	$\sim 1000$
$\alpha_{0,22}$	5185,27 (13)	$\sim 0,0004$	$\sim 1000$
$\alpha_{0,21}$	5193,04 (16)		
$\alpha_{0,20}$	5203,70 (13)	0,0004	1400

	Energy keV	Probability $\times 100$	F
$\alpha_{0,19}$	5219,6 (2)		
$\alpha_{0,18}$	5242,25 (13)	0,0007	1400
$\alpha_{0,17}$	5266,89 (13)	0,0003	4600
$\alpha_{0,16}$	5269,21 (13)	0,0009	1600
$\alpha_{0,15}$	5277,90 (23)	0,0006	2700
$\alpha_{0,14}$	5305,44 (13)		
$\alpha_{0,13}$	5313,40 (13)	0,0013	2100
$\alpha_{0,12}$	5321,0 (3)		
$\alpha_{0,11}$	5332,77 (13)	0,0022 (3)	1600
$\alpha_{0,9}$	5370,25 (13)	0,0005	12000
$\alpha_{0,8}$	5411,82 (13)	0,014 (3)	770
$\alpha_{0,6}$	5479,32 (13)	1,66 (3)	16,4
$\alpha_{0,5}$	5507,83 (13)	$\sim 0,01$	$\approx 4000$
$\alpha_{0,4}$	5534,86 (12)	13,23 (10)	4,3
$\alpha_{0,3}$	5561,92 (12)	$< 0,04$	$> 2000$
$\alpha_{0,2}$	5578,28 (12)	84,45 (10)	1,3
$\alpha_{0,1}$	5604,62 (12)	0,23 (1)	600
$\alpha_{0,0}$	5637,82 (12)	0,38 (1)	610

241-Am Decay Scheme(reference : LNHB)

5.534 MeV(13.23%)

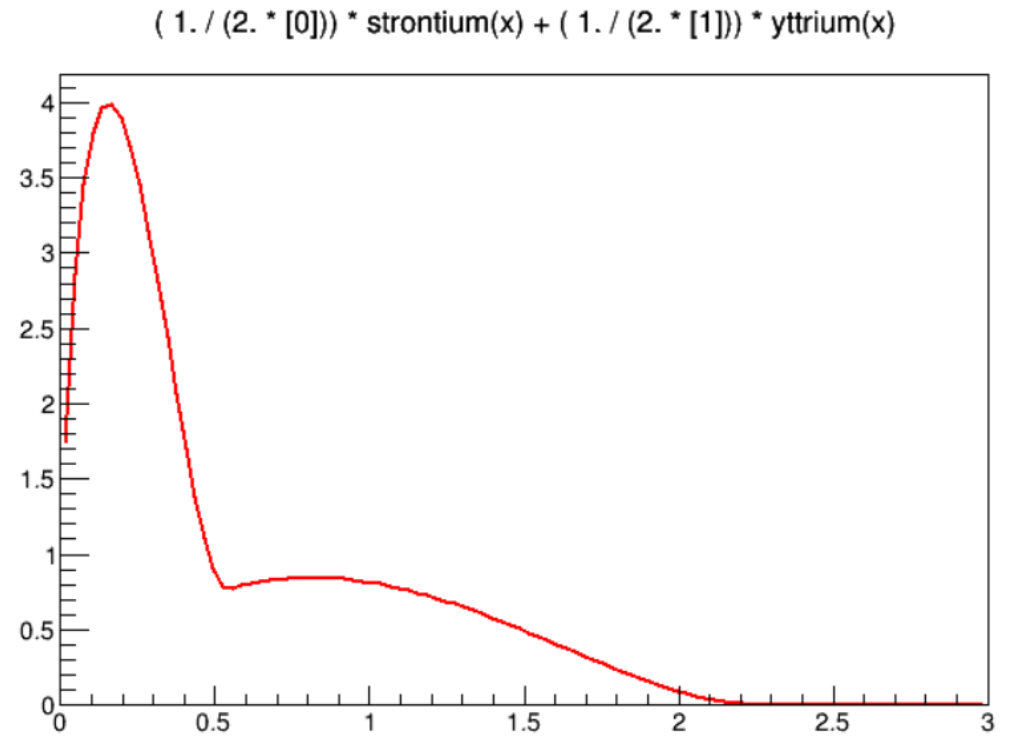
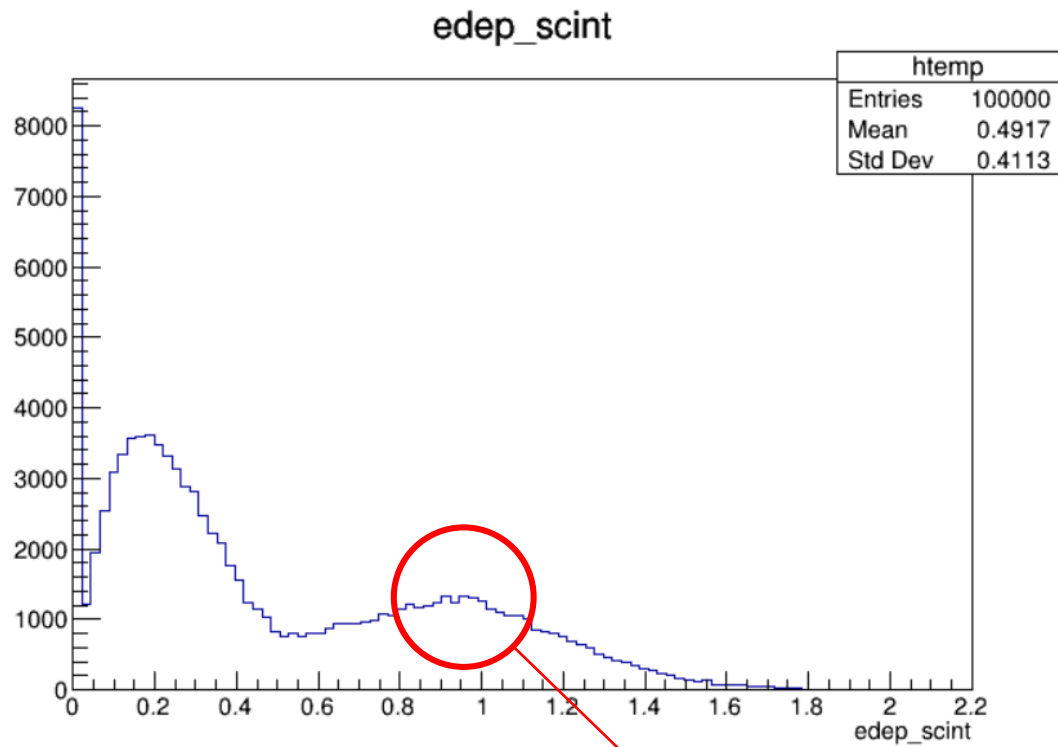
5.479 MeV(1.66%)

5.604 MeV + 5.637 MeV (0.23 + 0.38 %)

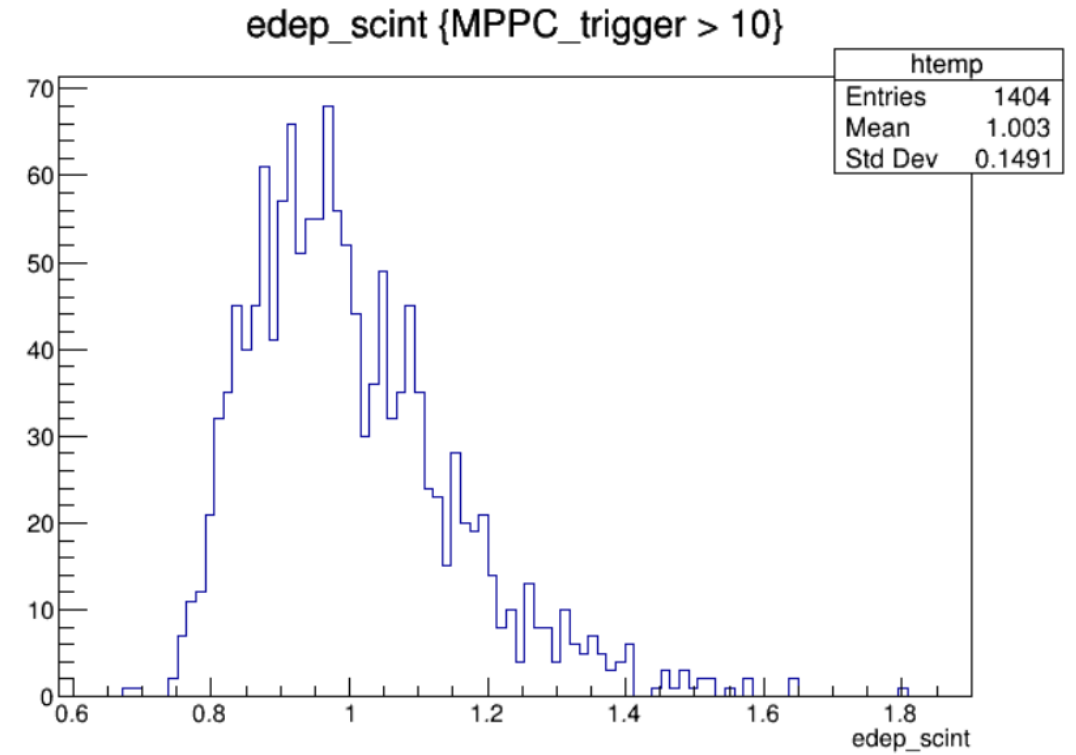
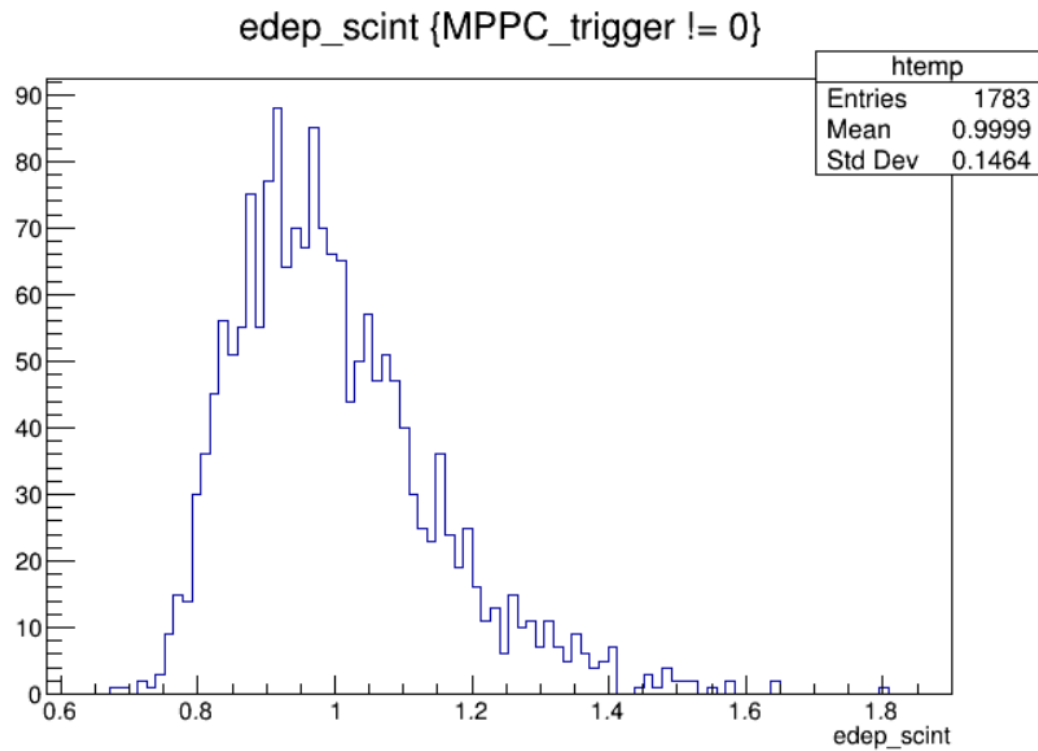


# Energy deposit problem

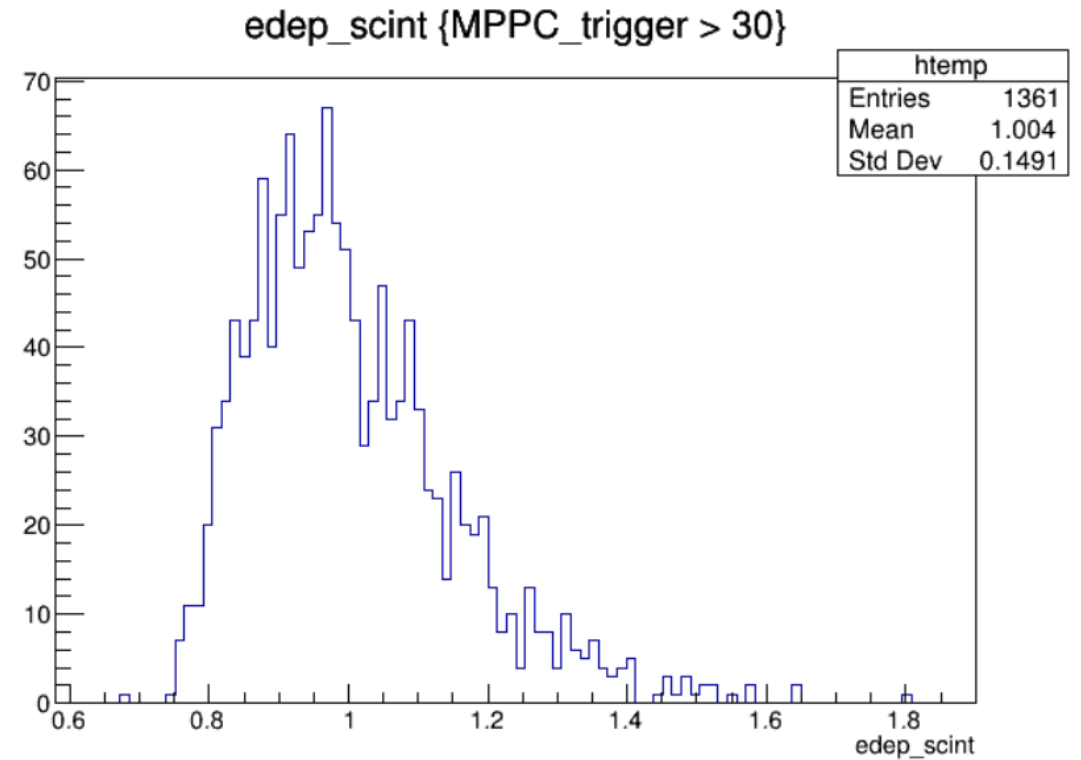
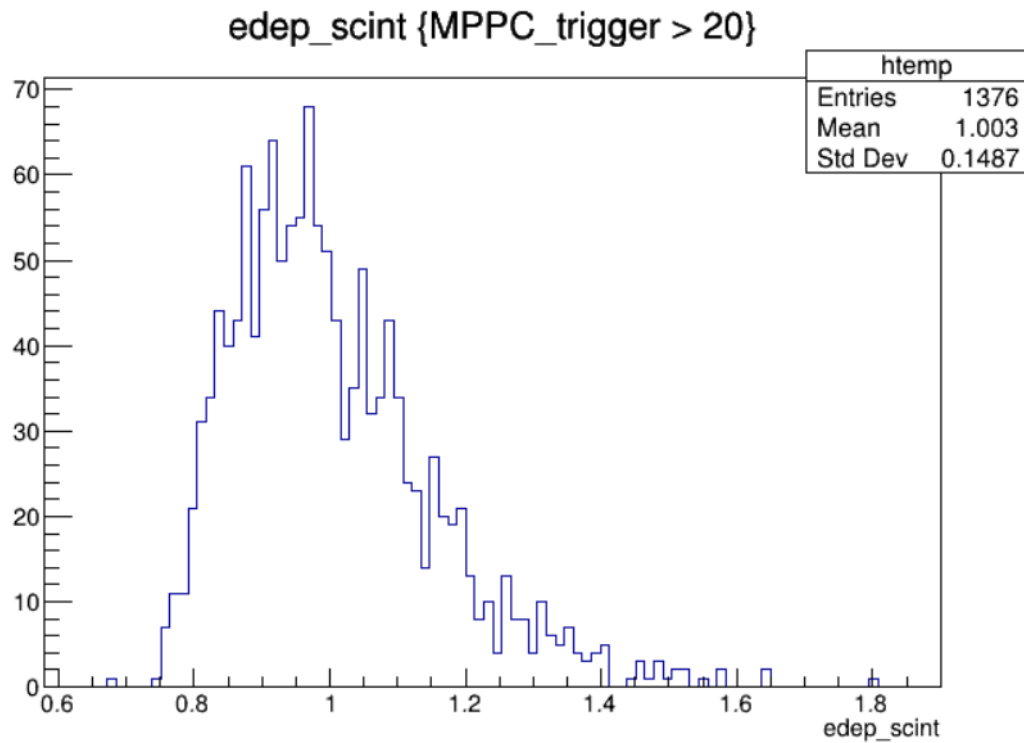
# Energy deposit on scintillator



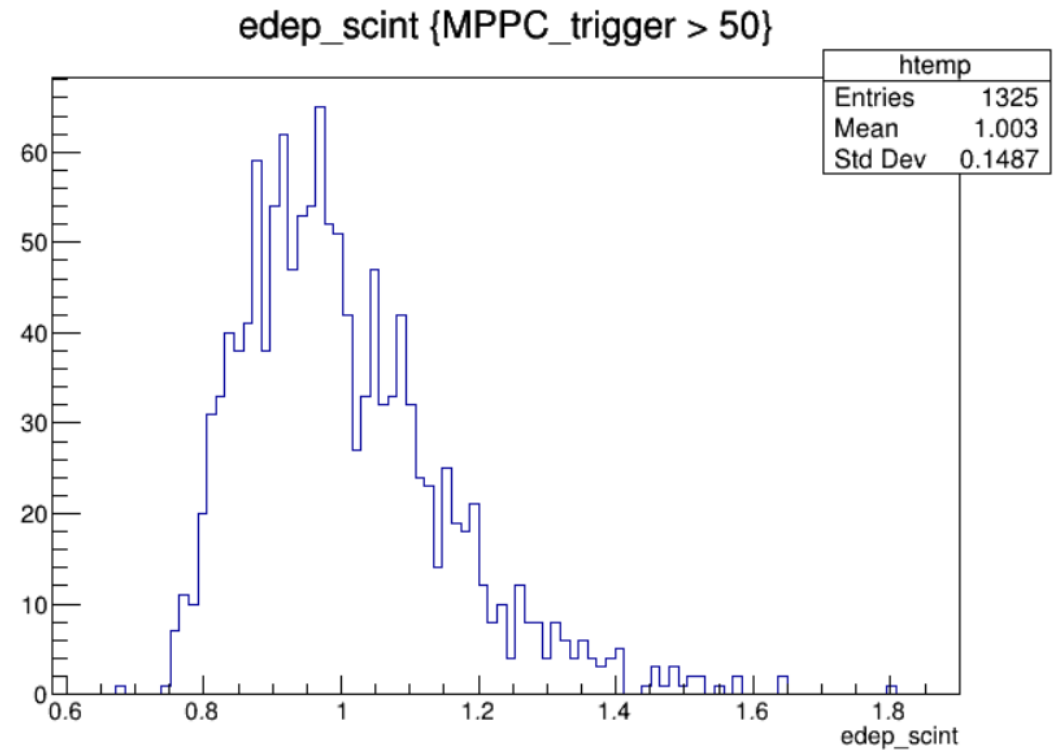
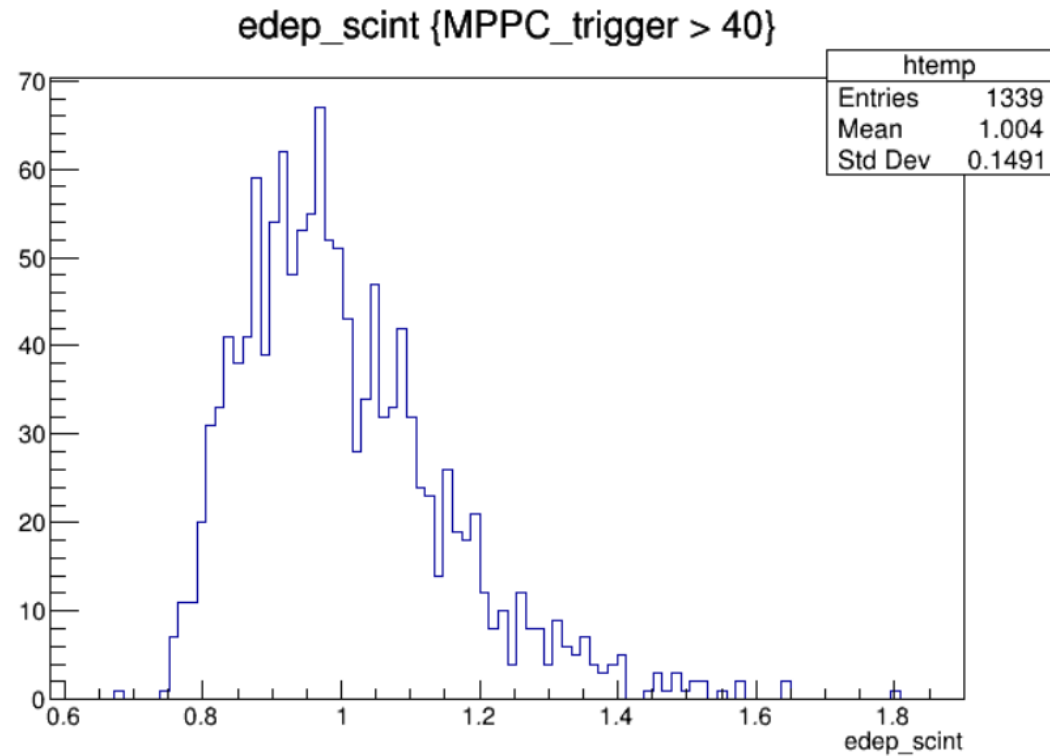
# Energy deposit depending on trigger



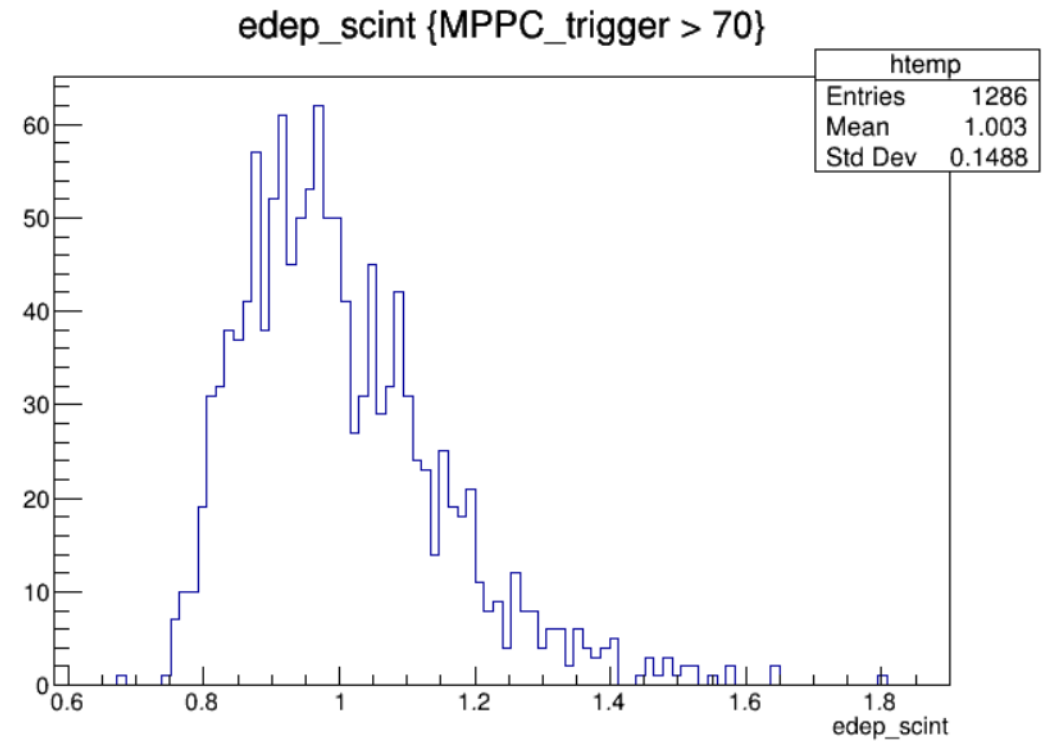
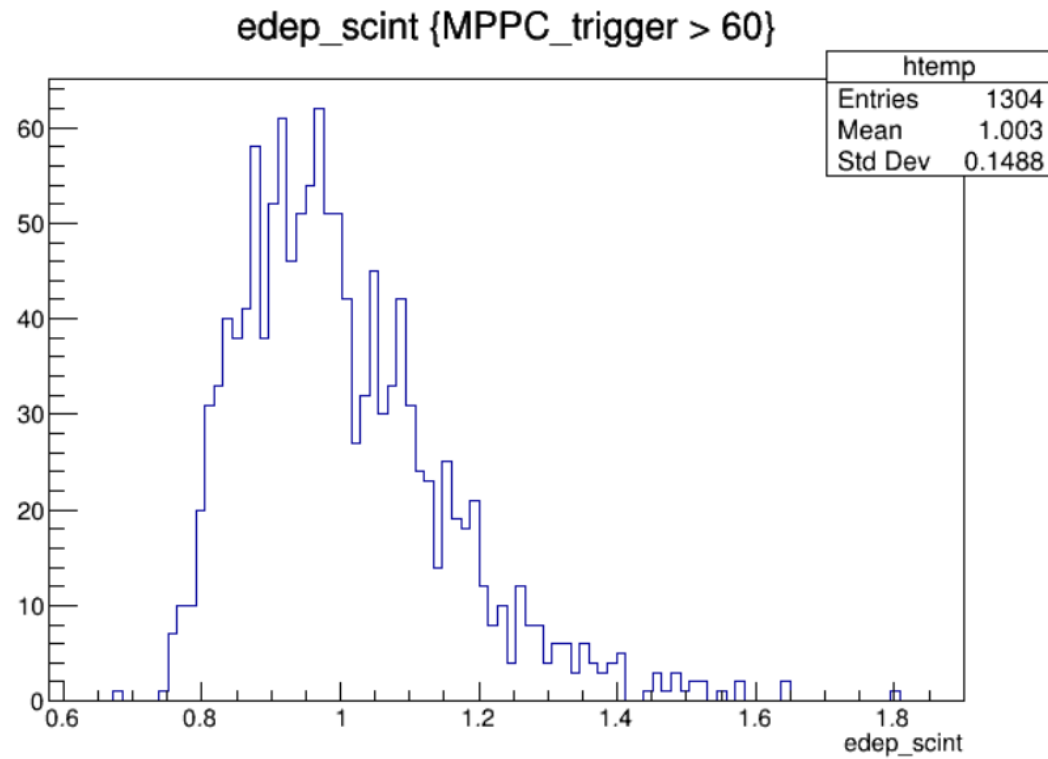
# Energy deposit depending on trigger



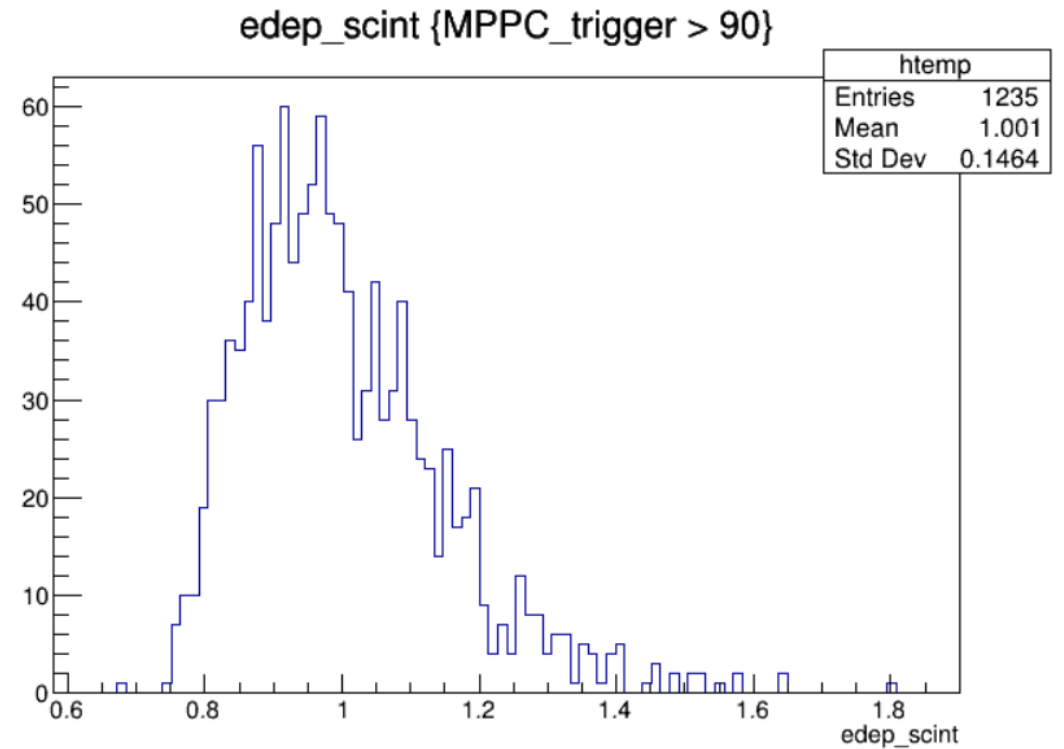
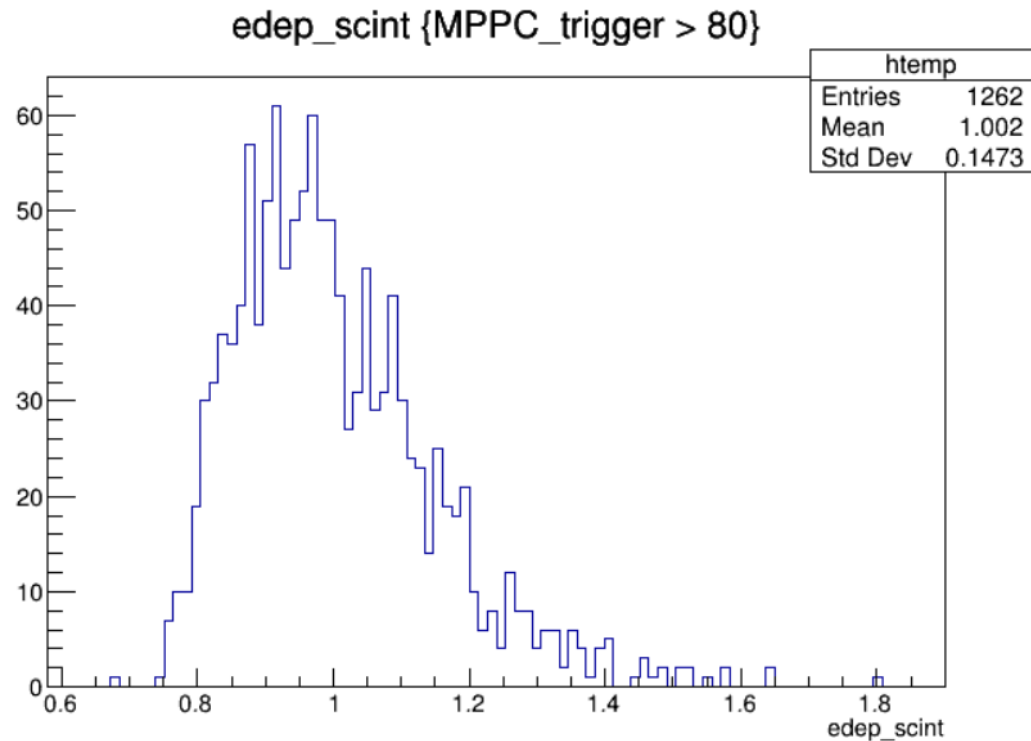
# Energy deposit depending on trigger



# Energy deposit depending on trigger

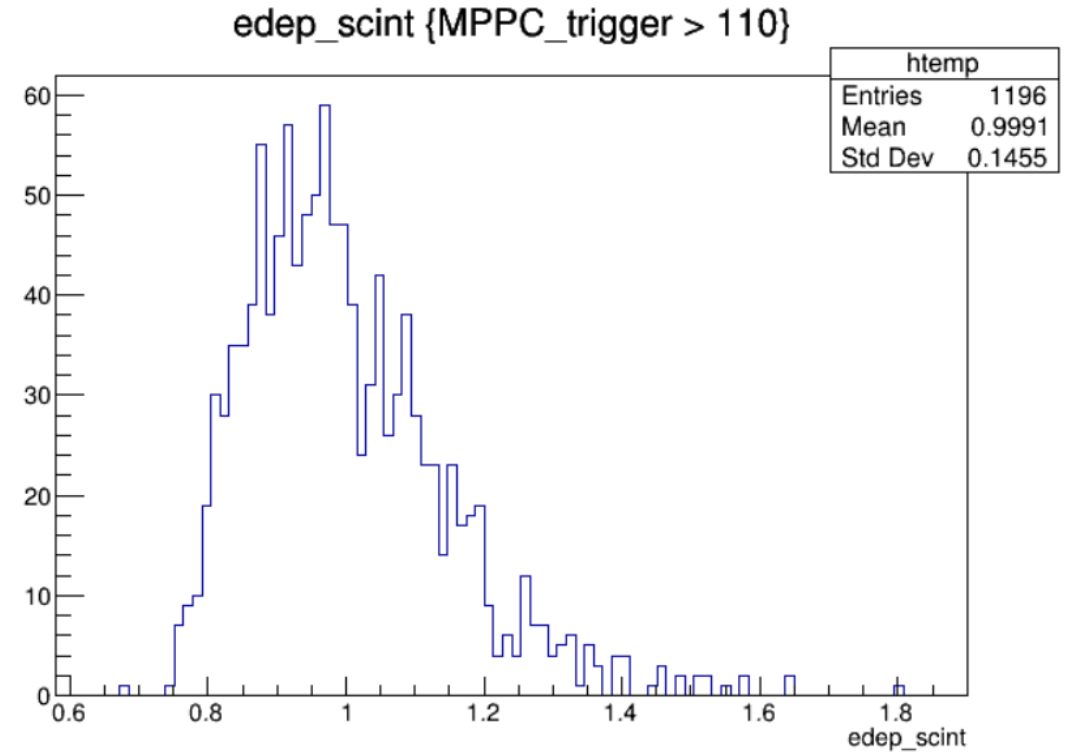
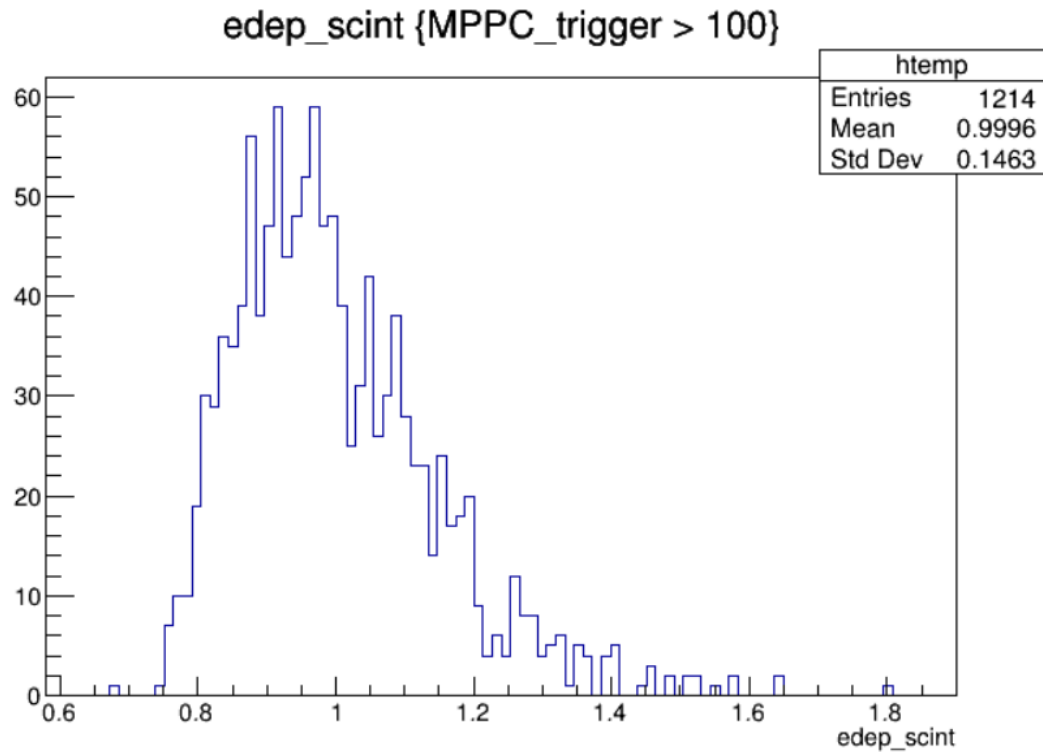


# Energy deposit depending on trigger



Trigger 조건이 변함에도 Mean 값은 거의 변하지 않음.

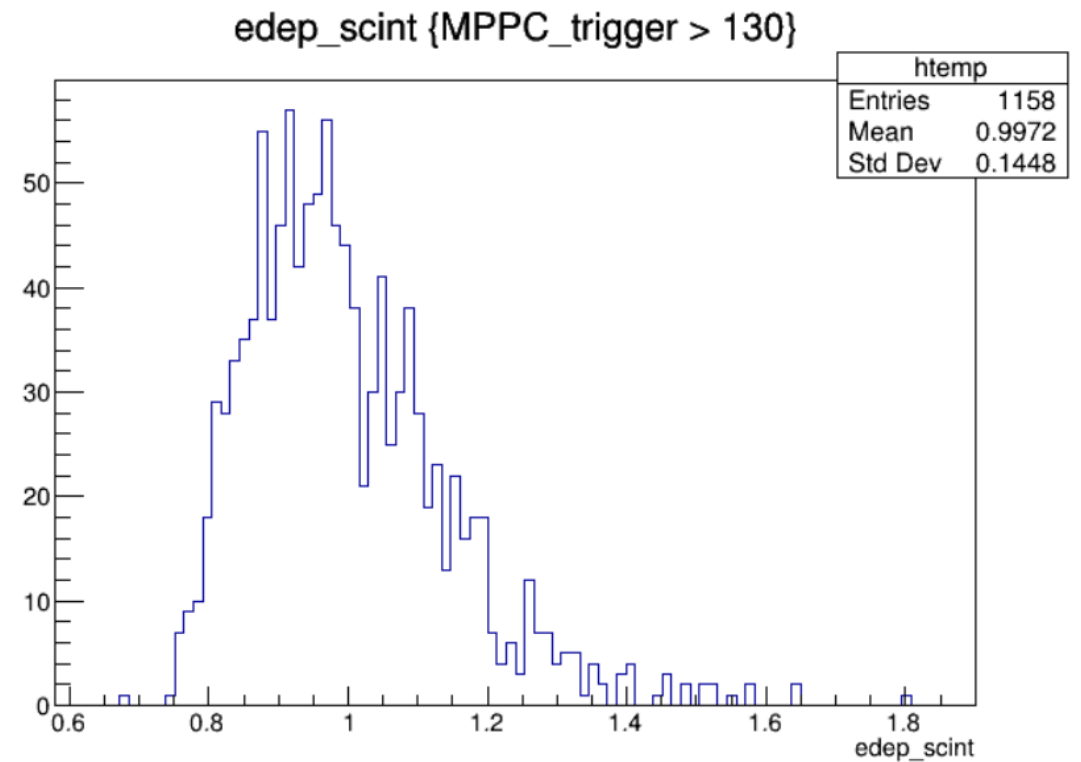
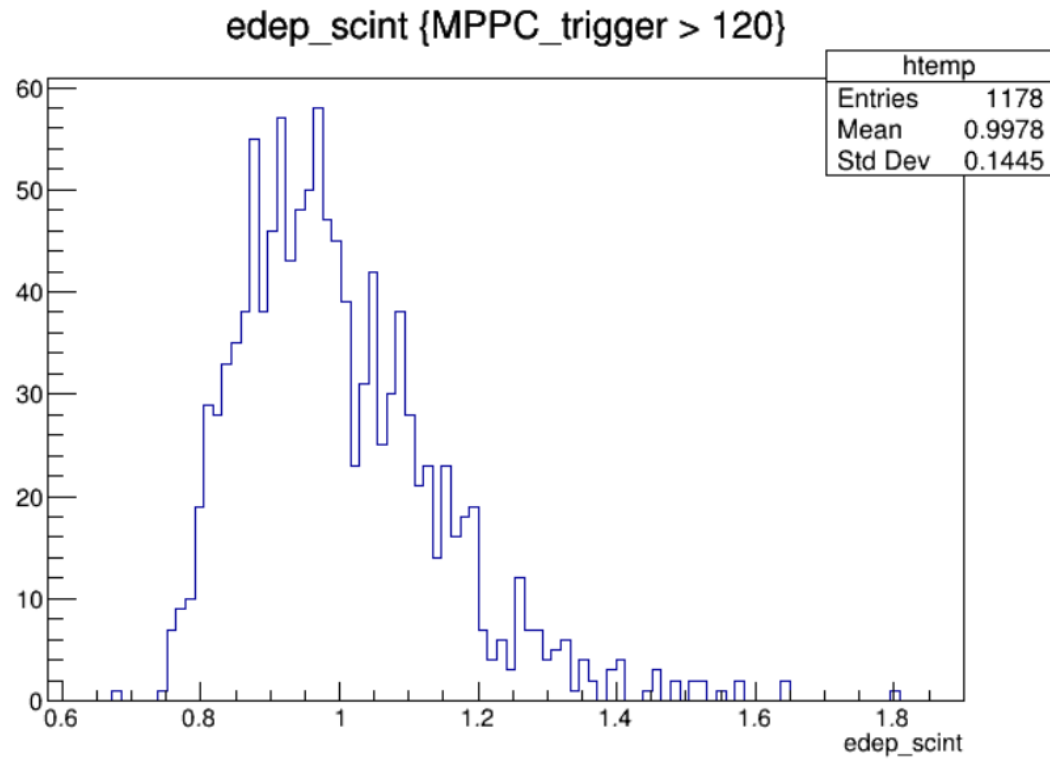
# Energy deposit depending on trigger



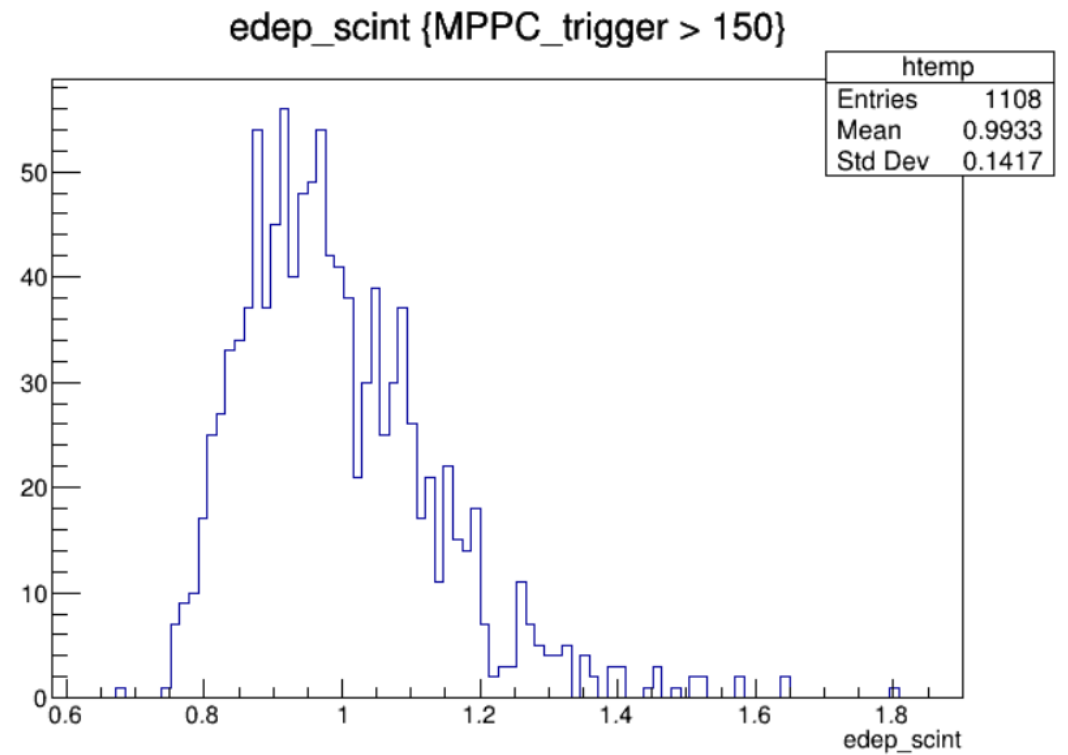
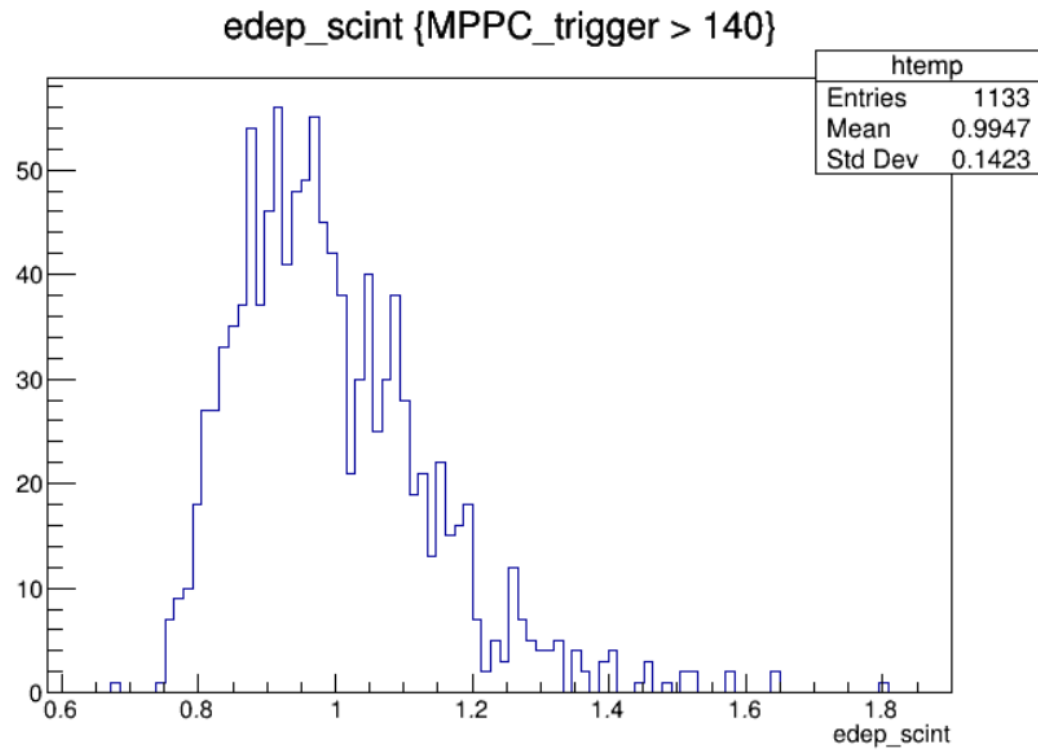
Trigger 조건이 증가함에 따라 Energy deposit이 감소함  
이는 Trigger 쪽에 에너지를 더 많이 남기기 위해서는 Scintillator에 에너지를 덜 남겨야 하기 때문이다.



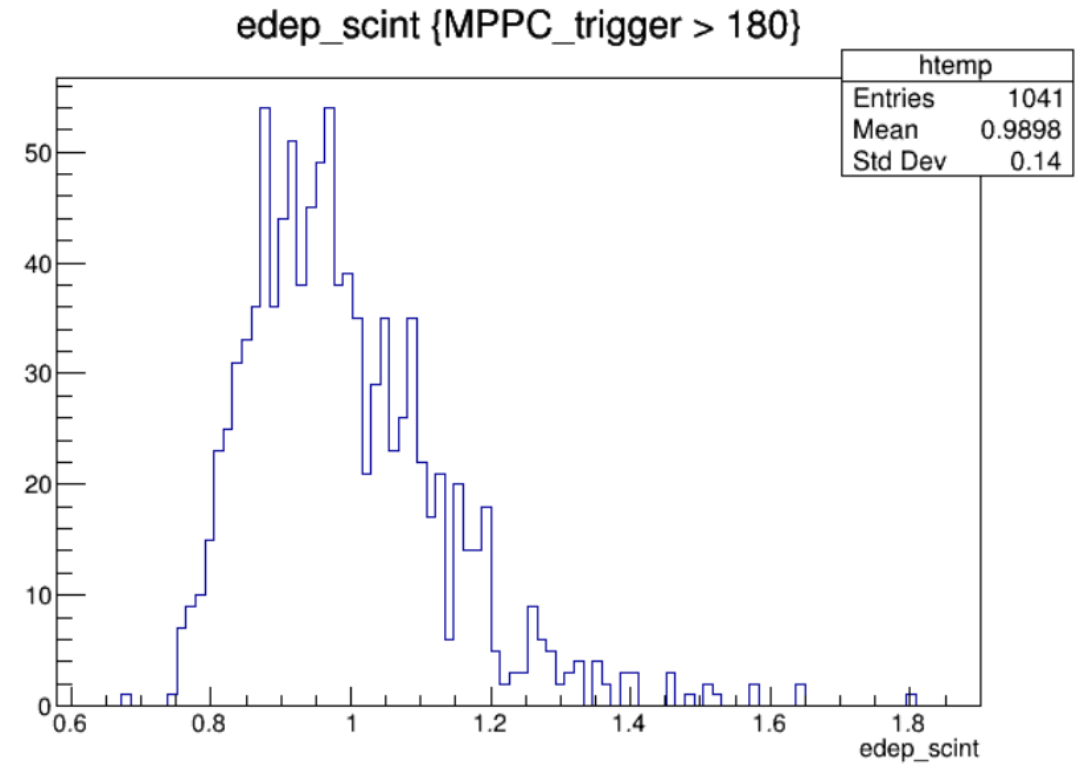
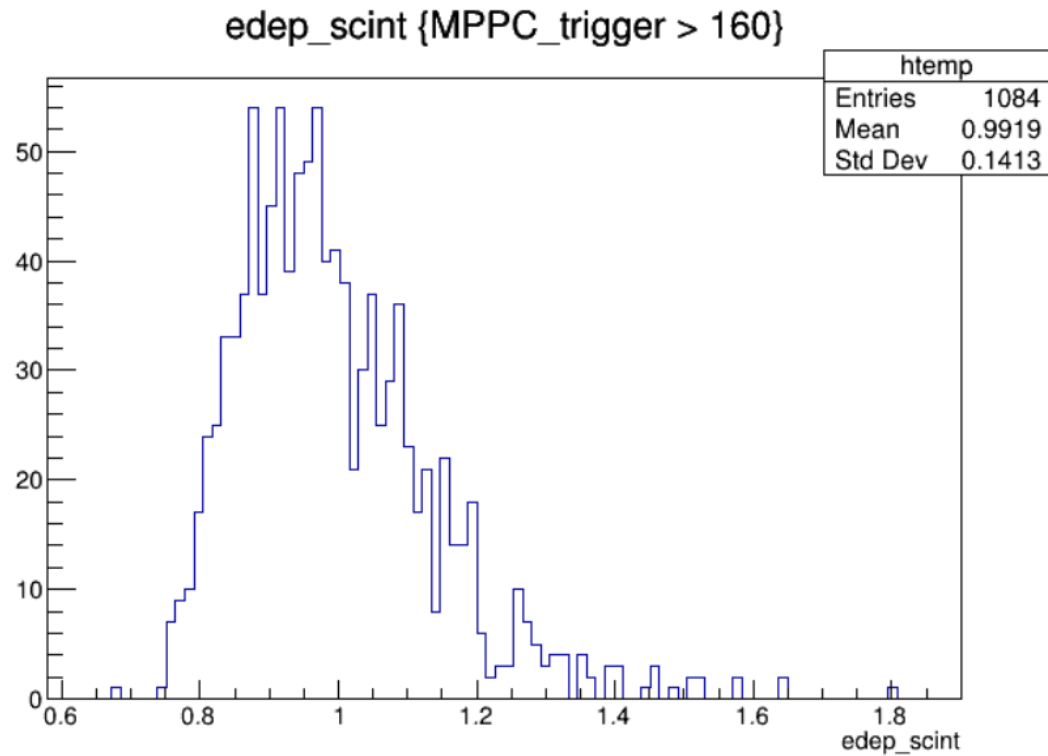
# Energy deposit depending on trigger



# Energy deposit depending on trigger



# Energy deposit depending on trigger



# Energy deposit depending on trigger

